

文章编号:1671-6833(2019)06-0038-05

Pd掺杂ZnO材料的制备及其对NO₂气敏性能研究

曹晨璐, 曹春梅, 郭美圆, 卢启芳, 詹自力, 高 健

(郑州大学 化工与能源学院,河南 郑州 450001)

摘要:以含Zn的金属有机骨架材料作为模板,通过热处理方法制备出颗粒分布相对均匀的ZnO纳米材料(颗粒尺寸大小<200 nm),分析比较了该ZnO半导体纳米材料及其Pd掺杂量质量分数分别为0.5%、1%和2%的Pd_{x%}/ZnO($x=0.5, 1.0, 2.0$)纳米材料对NO₂气体的传感性能。研究结果表明,贵金属Pd的引入及ZnO载体颗粒度的降低均有利于提高Pd/ZnO纳米材料对NO₂的灵敏度和选择性;Pd_{1%}/ZnO纳米材料对体积分数为 25×10^{-6} NO₂的灵敏度值为46.6,高于纯ZnO、Pd_{0.5%}/ZnO和Pd_{2%}/ZnO对NO₂的灵敏度值,其最佳工作温度为235℃,且当NO₂体积分数降至 5×10^{-6} 时,该样品仍对NO₂具有较好响应。

关键词:Pd/ZnO; 金属有机骨架; NO₂; 气体传感器; 气敏性

中图分类号: TP212.2

文献标志码: A

doi:10.13705/j.issn.1671-6833.2019.06.012

0 引言

金属氧化物半导体气体传感器因其具有体积小、成本低、监测灵敏等特点,而被作为气敏传感材料用于NO₂气体的监测和传感性能研究^[1]。常用的金属氧化物主要包括ZnO、TiO₂、SnO₂、WO₃和In₂O₃等。作为一种重要的n型半导体气敏材料^[2-4],ZnO具有良好的电子迁移率、化学稳定性和热稳定性等特点^[5],使其在化学传感器、光催化、太阳能电池和超级电容器等领域均有广泛应用^[6]。

Rai等^[1]制备出一种在常温下对NO₂气体的响应值明显高于CO、乙醇和乙醛的花状形貌ZnO,并阐释了其传感机理。Li等^[7]以合成的ZnO纳米线为敏感材料,金属单壁碳纳米管为电极,开发出一种新型室温电阻式NO₂气体传感器,与传统ZnO/Au传感器相比,ZnO/m-SWCNT传感器对NO₂的传感响应更好。Zhao等^[8]制备出纳米线结构的二硫化钼/氧化锌复合材料,发现其对NO₂气体具有较好的气敏性能。

除了改变ZnO气敏材料的形貌及结构可提高气敏性能之外,采用贵金属(Pd, Ag, Pt或Au)/ZnO形式的纳米复合材料也是一种提高ZnO材料传感性能的常见策略^[9-12]。

此外,金属有机骨架材料(MOFs)作为一种新型多孔材料,因其所具有独特的孔/笼结构而受到研究者极大关注。该类材料的特点在于金属原子主要通过与有机配体的化学键合,使得金属原子与配体按照一定规律规整排列,实现金属原子在材料结构中的均匀排布^[13]。

利用金属氧化物ZnO和金属有机骨架材料各自所具有的优势,笔者合成出一种含Zn的金属有机骨架材料并以其作为前驱体,通过热处理方法制备出颗粒分布相对均匀的ZnO材料(颗粒尺寸大小<200 nm),并以其作为载体分别获得金属Pd不同掺杂量的Pd_{x%}/ZnO($x=0.5, 1.0, 2.0$)纳米复合材料,研究该金属氧化物复合材料对NO₂气体的气敏响应性能并探讨其可能的气敏传感过程。

1 实验部分

1.1 试剂与仪器

六水合硝酸锌(AR,沪试),二甲基咪唑(AR,麦克林),甲醇(AR,国药集团化学试剂有限公司),无水乙醇(AR,天津市凯通化学试剂有限公司),蒸馏水。

采用德国Bruker公司D8 advance型X射线粉末衍射仪(XRD,CuK α 辐射, $\lambda = 1.5405 \text{ \AA}$,

收稿日期:2018-12-20;修订日期:2019-02-28

基金项目:国家自然科学基金资助项目(21808211);河南省自然科学基金项目(162300410256)

通信作者:高健(1980—),男,辽宁辽阳人,郑州大学讲师,博士,主要从事新型气敏材料制备、开发及其动态原位传感过程研究,E-mail:gaojian@zzu.edu.cn.

40 kV, 40 mA)测定产品的结构与物相,扫描速度12°/min,扫描范围为20°~80°.

采用美国FEI公司Nova Nano SEM 450扫描电子显微镜及Talos F200 s型透射电子显微镜(TEM, 200 kV)观察产物的形貌与尺寸.使用河南汉威电子股份有限公司生产的气敏测试系统进行气敏性能测试.

1.2 ZnO载体的制备

称取6.5 g二甲基咪唑,置于容积为100 mL的烧杯中,加入40 mL无水甲醇,充分搅拌,使二甲基咪唑溶解.称取3.0 g Zn(NO₃)·6H₂O,置于容积为100 mL的烧杯中,加入40 mL无水甲醇,充分搅拌,使Zn(NO₃)·6H₂O溶解.将溶解完的上述两种溶液混合继续搅拌8 h,用无水甲醇作为洗涤液进行离心洗涤,然后在80 °C下真空干燥7 h,700 °C煅烧6 h,得到白色粉末ZnO^[13].

1.3 Pd_{x%}/ZnO材料的制备

取200 mg ZnO于适量乙醇的烧杯中,按金属Pd质量分数分别为0.5%、1%、2%的含量称取相当量的PdCl₂并加入到该烧杯中,超声1 h后离心干燥,400 °C煅烧4 h,升温速率2 °C/min,分别得到Pd_{0.5%}/ZnO、Pd_{1%}/ZnO和Pd_{2%}/ZnO样品.

1.4 气体传感器的制备及性能测试

制备旁热式气敏元件,一般步骤为:ZnO材料粉末经研磨制成浆状物并将该材料均匀涂覆到带有Pt线圈的Al₂O₃陶瓷管上,60 °C干燥12 h,接着在400 °C条件下煅烧2 h.之后,在陶瓷管中插入Ni-Cr加热丝,以控制器件工作温度.气敏元件经老化后,即可进行气敏测试.采用静态配气法,在测试软件为HW-30 A(河南炜盛)的测试装置上进行测试.半导体传感器的灵敏度S是表征由目标气体浓度变化所引起的器件电阻变化程度的物理量.定义元件的灵敏度为 $S = R_a/R_g$ (或 R_g/R_a), R_a 与 R_g 分别为元件在空气和被测气体中的电阻.

2 结果与讨论

2.1 材料表征

图1为以金属有机骨架材料为模板经热处理得到的金属氧化物ZnO的XRD谱图.从图1可以看出,样品的衍射峰分别对应于金属氧化物ZnO的(100)、(002)、(101)、(102)、(110)、(103)、(200)、(112)、(201)晶面且其对应的衍射角分别为31.7°、34.5°、36.3°、47.6°、56.6°、62.9°、66.4°、68.0°、69.1°,经与标准卡片(PDF # 36-

1451)对照可确定,所得到是具有六方纤锌矿结构的金属氧化物ZnO.

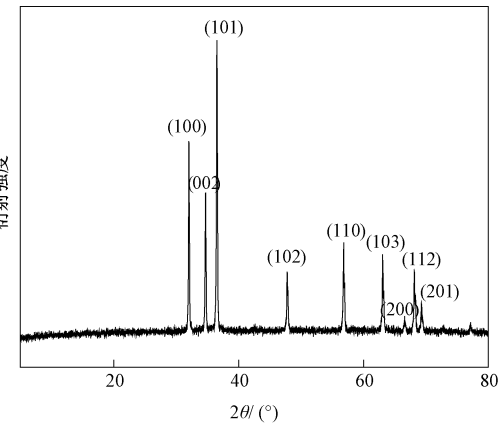
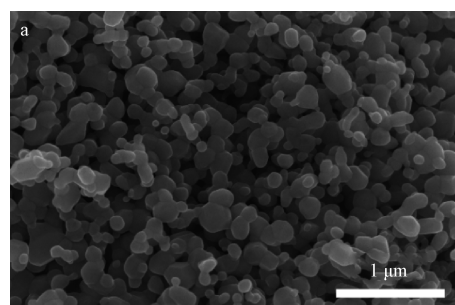


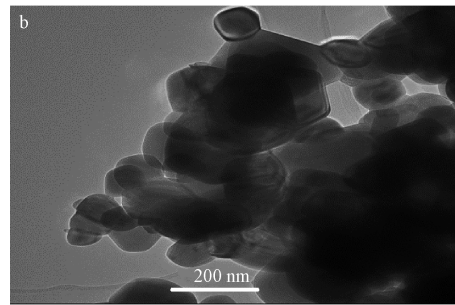
图1 以金属有机骨架材料为模板合成出的金属氧化物ZnO的XRD谱图

Fig.1 XRD pattern of the ZnO using metal-organic framework material as precursor

图2为以金属有机骨架材料为模板合成出的金属氧化物ZnO的SEM图(a)及Pd_{1%}/ZnO的TEM图(b).从图2可以看出,ZnO颗粒分布相对较为均匀,其颗粒尺寸大小<200 nm.



(a)ZnO的SEM图



(b)Pd_{1%}/ZnO的TEM图

图2 以金属有机骨架材料为模板合成出的金属氧化物ZnO的SEM图和Pd_{1%}/ZnO的TEM图

Fig.2 SEM pattern of the ZnO synthesized with metal-organic framework precursor and TEM pattern of Pd_{1%}/ZnO

图3为以金属有机骨架材料为模板合成的Pd_{1%}/ZnO的TEM图片.从图3可以看出,贵金属Pd在ZnO表面分布相对均匀.

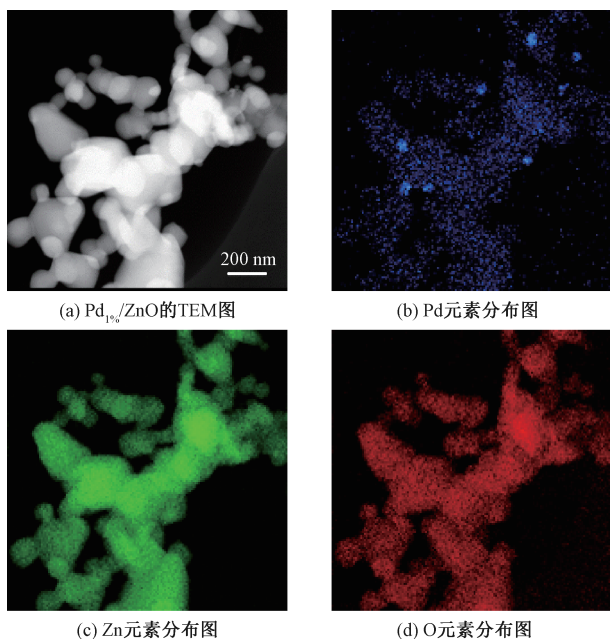


图3 以金属有机骨架材料为模板合成 $\text{Pd}_{1\%}/\text{ZnO}$

的 TEM 图 (a) 及元素分布图 (b)、(c)、(d)

Fig.3 (a) TEM spectroscopy pattern of the ZnO

synthesized with metal-organic framework precursor

and Element distribution pattern of $\text{Pd}_{1\%}/\text{ZnO}$

(b)、(c)、(d)

图4为以金属有机骨架材料为模板合成的 ZnO 及 $\text{Pd}_{1\%}/\text{ZnO}$ 的拉曼谱图。由图4可知,相比
较于 ZnO 拉曼谱图, $\text{Pd}_{1\%}/\text{ZnO}$ 样品在 650 cm^{-1} 处
有 Pd 的谱峰出现,这说明 Pd 金属原子已被成功
负载到 ZnO 载体表面。

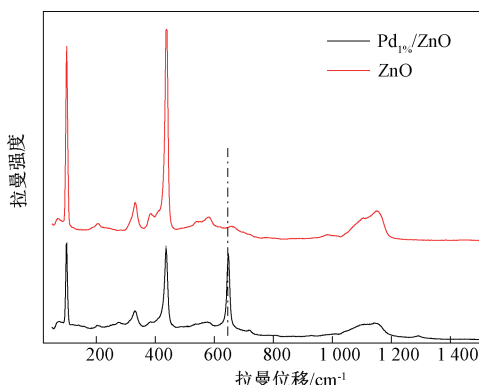


图4 以金属有机骨架材料为模
板合成 ZnO 及 $\text{Pd}_{1\%}/\text{ZnO}$ 的拉曼谱图

Fig.4 Raman spectroscopy pattern of the ZnO
synthesized with metal-organic framework precursor
and $\text{Pd}_{1\%}/\text{ZnO}$

2.2 气敏性能分析

图5为以金属有机骨架材料为模板合成的
 ZnO 及金属 Pd 不同掺杂量的 ZnO 纳米材料在
不同工作温度下对体积分数为 2.5×10^{-5} NO_2
的气敏性能。研究结果表明,载体 ZnO 本身对体积分数

为 2.5×10^{-5} 的 NO_2 气体具有响应,且随工作温度
升高,载体 ZnO 对 NO_2 气体的灵敏度呈先增加后
降低的趋势。工作温度为 235°C 时,载体 ZnO 对
 NO_2 的灵敏度最高为 34.4。与 ZnO 相比较而言,
 $\text{Pd}_{x\%}/\text{ZnO}$ 对体积分数为 2.5×10^{-5} NO_2 气体灵敏
度明显提高,且随工作温度升高也呈先增加再降低
的气体响应趋势。金属 Pd 的引入可明显提升 ZnO
复合材料对 NO_2 气体的响应,且当金属 Pd 掺杂量
为 1% 时,该金属氧化物复合材料对 NO_2 具有更好
气敏性能。 235°C 时,其灵敏度为 46.6,高于
 $\text{Pd}_{0.5\%}/\text{ZnO}$ 和 $\text{Pd}_{2\%}/\text{ZnO}$ 纳米复合材料对 NO_2
的气敏响应。

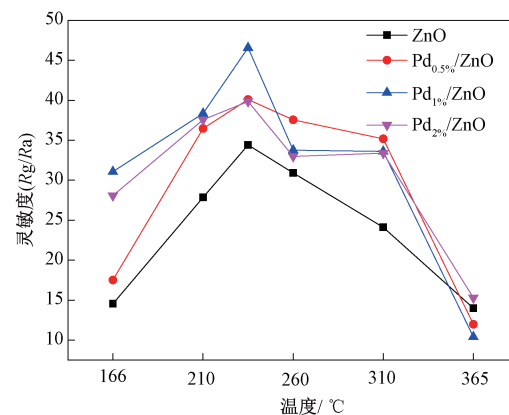


图5 以金属有机骨架材料为模板合成的 ZnO
及 $\text{Pd}_{x\%}/\text{ZnO}$ 材料在不同工作温度下对体积分数为
 2.5×10^{-5} NO_2 气体的最佳工作温度曲线

Fig.5 The optimum working temperature curves of ZnO
materials synthesized by metal organic framework as
template and $\text{Pd}_{x\%}/\text{ZnO}$ to volume fraction 2.5×10^{-5}
nitrogen dioxide vapor

其原因可能是随着金属 Pd 掺杂量逐渐增加, ZnO 表面的氧空位及活性位点相应增多,促使
 NO_2 气体分子在 Pd/ZnO 表面的吸附-脱附过程
加快,提高了 Pd/ZnO 复合材料对 NO_2 气体的气
敏响应性能。而当金属 Pd 掺杂量进一步增加到
2% 时,因金属 Pd 颗粒相互间可能发生的团聚现
象,使得其在载体 ZnO 表面上会以更大尺寸的金属
簇形式存在,导致活性位点相对减少且响应程度
出现降低。

图6为以金属有机骨架材料为模板合成的
 ZnO 载体及 $\text{Pd}_{1\%}/\text{ZnO}$ 对不同浓度 NO_2 的响应-
恢复曲线。结果表明,在工作温度 235°C 条件下,
 ZnO 载体及 $\text{Pd}_{1\%}/\text{ZnO}$ 对体积分数为 5×10^{-6} ~
 50×10^{-6} 范围内的 NO_2 气体均有气敏传感性能,
且当 NO_2 气体浓度达到 50×10^{-6} 时,样品对 NO_2
气体的响应-恢复时间小于 5 s。

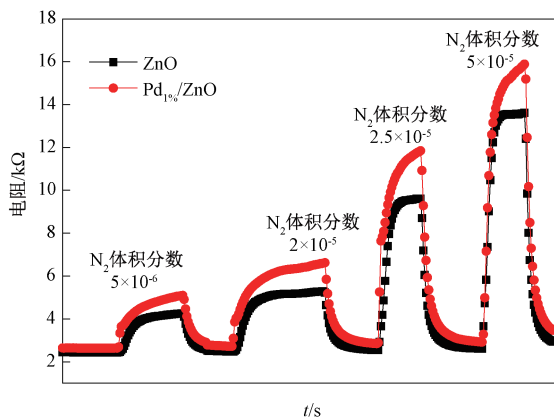


图6 以金属有机骨架材料为模板合成的ZnO及Pd_{1%}/ZnO对不同体积分数NO₂的响应-恢复曲线

Fig.6 Response and recovery curves of different concentrations of NO₂ in ZnO synthesized by metal organic framework precursor and Pd_{1%}/ZnO

图7为以金属有机骨架材料为模板合成的ZnO及Pd_{1%}/ZnO在工作温度(235℃)下对不同组分气体的气敏选择性能.测试结果表明,载体ZnO及Pd_{1%}/ZnO复合材料虽对乙醇、丙酮、乙醚均有气敏响应但其灵敏度很低.其中,载体ZnO对乙醇、丙酮和乙醚的灵敏度值分别仅为2.1、2.0和1.3,但对NO₂的灵敏度却为34.4,说明载体ZnO对NO₂气体具有较高单一选择性.而对于Pd_{1%}/ZnO来说,虽该复合材料也表现出类似载体ZnO对NO₂气体的单一选择性,但由于金属Pd的引入使其对NO₂气体的气敏程度提升,灵敏度值有明显增加并达到46.6,对NO₂气体具有更好的气敏响应性能.

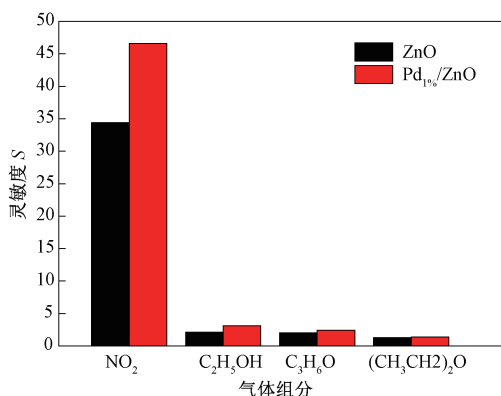


图7 以金属有机骨架材料为模板合成的ZnO及Pd_{1%}/ZnO对不同组分气体的气敏选择性

Fig.7 Gas-sensing selectivity of ZnO Synthesized by metal organic framework precursor and Pd_{1%}/ZnO

2.3 气敏机理分析

对ZnO气体传感器而言,气体分子与ZnO表面相互作用会引起电变化,且电变化以电压/电

流/电阻形式可反映出被测气体的浓度变化.当ZnO暴露在空气中,空气中的氧分子吸附在材料表面,成为化学吸附氧(O₂⁻, O⁻, O²⁻),从而形成一个空间电荷层,ZnO气敏元件则表现为电阻上升.当氧化性气体NO₂吸附在ZnO表面,会与ZnO表面的吸附氧反应或直接吸附在ZnO表面并形成NO₂⁻,在氧空位缺陷表面的NO₂很容易发生解离吸附,生成O和NO,最终导致材料电阻增加.ZnO的传感特性取决于温度且响应随温度升高而增加.这是因为,ZnO表面电子数目会随温度升高而增加,促使氧和NO₂分子捕获ZnO表面的电子,导致电阻增大,灵敏度值提升.但当工作温度进一步升高(>235℃),灵敏度却呈下降趋势,其原因在于可吸附NO₂的活性位数量减少^[1].

Pd的引入可明显提高Pd/ZnO纳米材料对NO₂的气敏性能,我们认为其原因在于:金属Pd具有促进氧的吸附和脱附能力,可促进NO₂气体分子在Pd/ZnO颗粒表面发生电子转移,引起颗粒表面阻值变化.此外,金属Pd与半导体金属氧化物ZnO之间存在的电子效应,也使得金属Pd的引入有利于耗尽层宽度进一步增加,从而提高了Pd/ZnO复合材料对NO₂的气敏响应程度.

3 结论

(1)以含Zn的金属有机骨架材料为模板,通过热处理方法制备出颗粒尺寸大小分布相对均匀的ZnO材料(颗粒尺寸大小<200 nm).

(2)金属Pd的引入可明显提高Pd/ZnO复合材料对NO₂的气敏响应性能.Pd_{1%}/ZnO纳米材料对体积分数为2.5×10⁻⁵ NO₂的灵敏度值为46.6,高于纯ZnO、Pd_{0.5%}/ZnO和Pd_{2%}/ZnO对NO₂的灵敏度值.

(3)在最佳工作温度(235℃)条件下,当NO₂体积分数降至5×10⁻⁶时,Pd_{1%}/ZnO纳米复合材料对NO₂仍可表现出不错的气敏响应性能.

参考文献:

- [1] RAI P, RAJ S, KO K J, et al. Synthesis of flower-like ZnO microstructures for gas sensor applications [J]. Sensors and actuators B: chemical, 2013, 178: 107-112.
- [2] ZHANG J, WANG S R, WANG Y, et al. ZnO hollow spheres: Preparation, characterization, and gas sensing properties[J]. Sensors and actuators B: chemical, 2009, 139: 411-417.
- [3] 孟占昆,潘国峰,侯庆忠,等.基Al掺杂ZnO的丙酮

- 气敏传感器以及紫外光激发对其气敏性能的影响[J]. 传感技术学报, 2016, 29(6): 797-801.
- [4] LIU C, WANG B Q, LIU T, et al. Facile synthesis and gas sensing properties of the flower-like NiO-decorated ZnO microstructures[J]. Sensors and actuators B: chemical, 2016, 235:294-301.
- [5] 樊慧庆, 马龙涛, 黄丽梅, 等. 氧化锌一维纳米棒的低温制备及其气敏性能[J]. 郑州大学学报(工学版), 2016, 37(3):52-55.
- [6] ZHANG J, WANG S R, WU S H, et al. Hierarchically porous ZnO architectures for gas sensor application[J]. Crystal growth & design, 2009, 9 (8): 3532-3537.
- [7] LI X, WANG J, XIE D, et al. Enhanced p-type NO₂-sensing properties of ZnO nanowires utilizing CNTs electrode[J]. Materials letters, 2017, 206:18-21.
- [8] ZHAO S F, WANG G J, LIAO J C, et al. Vertically aligned MoS₂/ZnO nanowires nanostructures with highly enhanced NO₂ sensing activities[J]. Applied surface science, 2018, 456:808-816.
- [9] WANG Z H, TIAN Z W, HAN D M, et al. Highly sensitive and selective ethanol sensor fabricated with in-doped 3DOM ZnO[J]. ACS appl mater interfaces, 2016, 8(8):5466-5474.
- [10] YAS A H, AHMAD U, AHMED A I, et al. Synthesis, characterization and acetone gas sensing applications of Ag-doped ZnO nanoneedles[J]. Ceramics international, 2017, 43(9): 6765-6770.
- [11] WEI N, CUI H Z, WANG X Z, et al. Hierarchical assembly of In₂O₃ nanoparticles on ZnO hollow nanotubes using carbon fibers as templates: Enhanced photocatalytic and gas-sensing properties[J]. Journal of colloid and interface science, 2017, 498:263-270.
- [12] LUO Y, ZHANG C, ZHENG B, et al. Hydrogen sensors based on noble metal doped metal-oxide semiconductor:a review[J]. International journal of hydrogen energy, 2017, 42:20386-20397.
- [13] YIN Y Z, HU B, LI X L, et al. Pd@zeolitic imidazolate framework-8 derived PdZn alloy catalysts for efficient hydrogenation of CO₂ to methanol[J]. Applied catalysis B: environmental, 2018, 234:143-152.

Synthesis, Characterization and Nitrogen Dioxide Gas Sensing Applications of Pd Doped ZnO Material

CAO Chenlu, CAO Chunmei, GUO Meiyuan, LU Qifang, ZHAN Zili, GAO Jian

(School of Chemical Engineering and Energy, Zhengzhou University, Zhengzhou 450001, China)

Abstract: Nano-sized ZnO materials were prepared using the porous structure of metal-organic frameworks (MOFs) material as the precursor, and the sensing performance of this ZnO-based semiconductor nano-material with different ratios 0.5%、1%、2% of Pd ($Pd_x/ZnO, x=0.5, 1.0, 2.0$) for the different concentrations of NO₂ gas was studied. The sensitivity value of $Pd_{1\%}/ZnO$ nanomaterials to volume fraction 2.5×10^{-5} volume fraction NO₂ was 46.6 higher than that of pure ZnO, $Pd_{0.5\%}/ZnO$ and $Pd_{2\%}/ZnO$ for NO₂. The optimum operating temperature was 235 °C, and when the NO₂ concentration was reduced to volume fraction 5×10^{-6} , the sample still could have gas sensing performance.

Key words: Pd/ZnO; metal-organic framework; nitrogen dioxide; gas sensor; gas sensibility